

# بررسی کارایی نانوذرات مس نیکل فریت بارگذاری شده روی نانوتبوب کربنی چند دیواره ای در فعال سازی پراکسی مونوسولفات برای تجزیه رنگ راکتیو بلک ۵ از محلول های آبی

مهدي الحمد<sup>۱</sup>، طيبة طباطبائي<sup>۱\*</sup>، ايمان پارسه<sup>۲،۳\*</sup>، فاضل اميري<sup>۱</sup>، نظام الدين منگلى زاده<sup>۳</sup>

<sup>۱</sup> گروه مهندسی محیط زیست، واحد بوشهر، دانشگاه آزاد اسلامی، بوشهر، ایران

<sup>۲</sup> گروه مهندسی بهداشت محیط، دانشکده علوم پزشکی بهبهان، بهبهان، ایران

<sup>۳</sup> استاد مدعو، گروه مهندسی محیط زیست، واحد بوشهر، دانشگاه آزاد اسلامی، بوشهر، ایران

تاریخ دریافت مقاله: ۱۴۰۰/۱۰/۱۴؛ تاریخ پذیرش: ۱۴۰۰/۱۰/۲۶

## چکیده

زمینه و هدف: توسعه صنایع اخیراً منجر به آزاد سازی  $5 \times 10^5$  تن فاضلاب رنگی به محیط زیست شده است. حضور این محلولها به دلیل ویژگیهای پتانسیل سمیت و فعالیت سلطان‌زایی میتواند تهدیدی برای سلامتی انسان باشد. هدف این مطالعه بررسی کارایی نانوکامپوزیت  $\text{MWCNTs-CuNiFe}_2\text{O}_4$  در فعال سازی پراکسی مونوسولفات (PMS) برای تجزیه رنگ راکتیو بلک ۵ (RB<sup>۵</sup>) بود. روش کار: در این مطالعه نانوکامپوزیت با تکنیک‌های تشخیصی XRD، FTIR، TEM, SEM و pH (۲-۱۱)، غلظت نانوکامپوزیت (۷-۵۰ میلی گرم بر لیتر)، غلظت PMS (۸-۲۵ میلی مولار)، غلظت رنگ (۱۰-۲۵۰ میلی گرم بر لیتر) و زمان واکنش (۰-۶۰ دقیقه) مورد ارزیابی قرار گرفت. آزمایشات پایداری و محدود کنندگی گونه‌های واکنش پذیر در شرایط بهینه مورد مطالعه قرار گرفت.

یافته‌ها: نتایج نشان داد که سیستم  $\text{MWCNTs-CuNiFe}_2\text{O}_4/\text{PMS}$  عملکرد بالای در تجزیه RB<sup>۵</sup> نسبت به سیستم‌های همچون MWCNTs-CuNiFe<sub>2</sub>O<sub>4</sub>/PMS و MWCNTs-CuNiFe<sub>2</sub>O<sub>4</sub>/CuFe<sub>2</sub>O<sub>4</sub>/PMS دارد. تجزیه کامل در pH ۵ RB<sup>۵</sup> در ۷ دقیقه مقدار نانوکامپوزیت ۲۵۰ میلی گرم بر لیتر، مقدار PMS ۴ میلی مولار و زمان واکنش ۱۵ دقیقه بدست آمد. تصفیه مناسب محلول‌های واقعی به دلیل حضور مواد مداخله گر نیاز به زمان واکنش بالای ۲۴۰ دقیقه می‌باشد. آزمایشات پایداری برای ۵ سیکل واکنش نشان داد که  $\text{MWCNTs-CuNiFe}_2\text{O}_4$  میتواند یک کاتالیست قابل بازیافت در فعال سازی PMS باشد.

نتیجه گیری: کامپوزیت سنتز شده به دلیل قابلیت بازیافت و بازدهی بالا میتواند به عنوان یک کاتالیست برای فعال سازی PMS در حذف رنگ RB<sup>۵</sup> مورد استفاده قرار گیرد.

کلمات کلیدی: نانوکامپوزیت، MWCNTs-CuNiFe<sub>2</sub>O<sub>4</sub>، پراکسی مونوسولفات، بازیافت، کاتالیز.

صرف زیاد معرف ها و تجزیه ناموثر دارند<sup>۱۱، ۱۲</sup>. در مقایسه با این تکیک ها، فرآیندهای اکسیداسیون پیشفرته یکی از روش های کارآمد و جدید برای تصفیه آلاینده های پایدار از محلول های آبی می باشد. در این فرآیند گونه های واکنش پذیر تولیدی (همچون رادیکال هیدروکسیل و سوپراکسید) با افزودن واکنش، فرآیند انتقال الکترون و محدودیت هیدروژن، فرآیند اکسیداسیون آلاینده های آلی را انجام میدهد<sup>۱۳، ۱۴</sup>. اخیرا، فرآیند پیشفرته برپایه رادیکال سولفات (SO<sub>4</sub><sup>-</sup>) به عنوان یک تکنولوژی محلول آبی جدید برای تجزیه آلاینده های پایدار مورد توجه ویژه قرار گرفته است. در مقایسه با رادیکال هیدروکسیل (OH<sup>•</sup>), رادیکال SO<sub>4</sub><sup>-</sup> پتانسیل ردوکس بالا، نیمه عمر طولانی تر و پایداری بالاتر در محلول آبی دارد. از طرفی SO<sub>4</sub><sup>-</sup> می تواند در رنج وسیع pH، آلاینده ها بصورت انتخابی تجزیه نماید، که این میتواند مصرف رادیکالهای فعال توسط دیگر مواد غیرهدف کاهش دهد<sup>۱۳</sup>. رادیکال سولفات می تواند از انتقال الکترون ترکیباتی همچون پروکسی دی سولفات و پراکسی مونوسولفات تولید شود، که از این میان پراکسی مونوسولفات (PMS) نسبت به پرسولفات، فعال سازی راحتر به دلیل ساختار مولکولی منظم و تفکیک انرژی دارند<sup>۱۵، ۱۶</sup>. فعال سازی PMS توسط گرما، تشعشع نور UV، فلزات انتقالی و اولتراسوند انجام میگیرد، که از میان آنها، فلزات انتقالی همچون یون کالت به دلیل فعال سازی سریع، هزینه کم و قابل دسترسی آسان بیشتر مورد توجه قرار گرفته است. با اینحال کاتالیست فلزی هموژن در کاربردهای عملی به دلیل سمیت و تغییر گونه ای فلزی در pH مختلف نامناسب هستند<sup>۱۷</sup>. برای حل این مشکل، اخیرا توجه قابل ملاحظه ای روی توسعه کامپوزیت ها دو یا چند فلزی به عنوان اکسید فلزی برای حداکثر جذب آلاینده ها و افزایش فعال سازی اکسیدان ها متمرکز شده است<sup>۱۸</sup>. از میان اکسیدهای فلزی، فریت ها با فرمول کلی MFe<sub>2</sub>O<sub>4</sub> که M دو ظرفیتی همچون نیکل (Ni)، مس (Cu) و منگنز (Mn)

## مقدمه

در دهه های اخیر، رنگ ها با ساختار آلی پیچیده و مقاوم به فعالیت اکسیدان ها به طور وسیع در صنایع کاغذ، نساجی و پلاستیک و غیره مورد استفاده قرار گرفته اند<sup>۱</sup>. سالیانه بیش از ۱۰۰ هزار نوع رنگ و پیگمانن تولید شده، که بیشتر آنها به دلیل ساختار مولکولی پیچیده قابلیت تجزیه پذیری بیولوژیکی کمی دارند<sup>۲-۴</sup>. از میان رنگ ها، رنگ های راکتیو به دلیل پایداری عالی در چسبیدن با فیبرهای الیاف یکی از پرصرف ترین رنگ ها سنتیک تجاری می باشد<sup>۵</sup>. این رنگها با گروه عاملی هیدروکسیل و سولفات دارای ویژگیهای همچون رنگ روشن، غیر قابل تجزیه پذیر بیولوژیکی، مصرف انرژی پایین، حلایلت آبی بالا و توانایی جذب پایین روی بیومس زنده در تصفیه خانه فاضلاب می باشد<sup>۶</sup>. با اینحال، درصد رنگ های راکتیو در طی فرآیند رنگرزی به خوبی روی فیبر سلولز تثبیت نشده و در نتیجه مقادیر زیادی رنگ وارد سیستم جمع آوری فاضلاب می گردد<sup>۷، ۸</sup>. مطالعات قبلی، رنج غلظت رنگ های راکتیو باقیمانده در فاضلاب بین ۱-۱۵۰۰ mg/l گزارش دادند<sup>۹</sup>. آزادسازی فاضلاب حاوی رنگهای راکتیو در محیط زیست به دلیل ساختار مولکولی آروماتیک پیچیده و پایدار به تجزیه بیولوژیکی می تواند باعث اختلال زندگی آبزی و چرخه غذایی گردد<sup>۱۰، ۱۱</sup>. علاوه بر این، حضور این ترکیبات در آب های قابل دسترس باعث آلرژی، درماتیت و تحریک سرطان و متازن در انسان می شود<sup>۱۰</sup>. از اینرو، حذف آنها از محلول های آبی قبل از تخلیه به محیط زیست بسیار مهم می باشد.

تکنولوژی های بیولوژیکی و فیزیکو شیمیایی مختلفی برای حذف رنگ از محلول های آبی همچون اسمز معکوس، انعقاد/لخته سازی، جذب کربن فعال، تصفیه هوایی و بیهوایی مورد ارزیابی قرار گرفته است. طبق مطالعات، بعضی از فرآیندها روی بازدهی حذف رنگ موثر بوده، اما بیشتر آنها محدودیت های همچون هزینه بهره برداری بالا، تجمع لجن،

گروه های عملکردی همچون هیدروکسیل، کربوکسیل، اپوکسی و غیره هستند. ساختار نانوسایز لایه ای و گروه های عملکردی حاوی اکسیژن نانوتیوب ها جایگاهی برای ته نشست نانوذرات فراهم می کند.<sup>۲۷-۲۹</sup> Chaudhary و همکاران گزارش دادند که CNTs سایتهاي جذب خوبی برای آلائینده ها و اکسیدهای فلزی فراهم می کند.<sup>۳۰</sup> Duan و همکاران با بررسی عملکرد فتوکاتالیتیک نانوکامپوزیت CNTs/TiO<sub>2</sub> گزارش دادند که CNTs علاوه بر تهیه سطح ویژه مناسب برای ذرات TiO<sub>2</sub>، باعث تاخیر ترکیب دوباره الکترون ها و حفره ها می شود.<sup>۳۱</sup> Chen و همکاران پیدا کردند که CNTs از طریق انتقال الکترون به پراکسی مونوسولفات باعث تولید گونه های واکنش پذیر می گردد.<sup>۳۲</sup> Lee و همکاران همین نتایج برای فعال سازی پرسولفات بوسیله CNTs گزارش دادند.<sup>۳۳</sup> با وجود ویژگهای منحصر بفرد هردو CuNiFe<sub>2</sub>O<sub>4</sub> و نانوتیوب ها، هنوز مطالعه ای روی عملکرد کاتالیتیکی آنها برای فعال سازی PMS انجام نشده است. از اینزو هدف از مطالعه حاضر ارزیابی نانوذرات CuNiFe<sub>2</sub>O<sub>4</sub> بارگذاری شده روی نانوتیوب های چند دیواره ای (MWCNTs) به عنوان یک کاتالیست نو در فعال سازی PMS برای اکسیداسیون رنگ راکتیو بلک ۵ (5RB) بود. ساختار سطحی، کریستالین و گروه های عملکردی نانوکامپوزیت با استفاده تکنیک ها مختلف تعیین شد. تاثیر فاکتورهای مختلف همچون pH اولیه، مقدار کاتالیست، مقدار PMS و غلظت اولیه RB ۵ روی بازدهی تجزیه رنگ مورد بررسی قرار گرفت. آزمایشات مهار کنندگی برای شناسایی رادیکال های آزاد انجام شده و پایداری و قابلیت بازیافت نانوذرات برپایه سیکل واکنش های متوالی و طیفسنجی تبدیل فوریه مادون قرمز (FTIR) مورد ارزیابی قرار گرفت.

## مواد و روش ها

میباشد، در کاربردهای وسیعی به دلیل قابلیت بازیافت، ویژگی های الکترونیک، جداسازی آسان و فعالیت فتوکاتالیتیک عالی مورد استفاده قرار گرفته است.<sup>۱۹</sup> Nguyen و همکاران نانوکامپوزیت MnFe<sub>2</sub>O<sub>4</sub>/GO برای حذف روغن از محلول های آبی<sup>۲۰</sup> و Wu و همکاران نانوذرات CuFe<sub>2</sub>O<sub>4</sub>/GO برای جذب فلز آرسنیک مورد ارزیابی قرار دادند و پیدا کردند که فریت ها ضمن افزایش قابلیت بازیافت، منجر به بهبود بازدهی حذف آلائینده ها میگردند.<sup>۲۱</sup> با وجود این مطالعات و کارایی بالای فریت، اخیراً محققین برای اطمینان از چند کاربردی بودن ذرات، پایدار عالی کاتالیستها و واکنش پذیری بالا آنها به فریت های مخلوط همچون مس- نیکل فریت (CuNiFe<sub>2</sub>O<sub>4</sub>) علاقمند شدند.<sup>۲۲, ۲۳</sup>

مس- نیکل فریت متعلق به خانواده اسپینل ها با فرمول کلی AB<sub>2</sub>O<sub>4</sub> هستند که کاتیون A در موقعیت چهاروجهی و کاتیونهای B در موقعیت هشت وجهی قرار دارد.<sup>۲۴</sup> کاتیون های بکار رفته در ساختار این نانوذرات بشدت بر ویژگیهای سطحی آن تاثیر گذار است. به عنوان مثال ورود مس به ساختار CuNiFe<sub>2</sub>O<sub>4</sub> سمیت اسپینل را به طور چشمگیری کاهش میدهد. فریت های مخلوط به دلیل خاصیت مگنتیک بالا، پایداری الکترونیکی عالی و سمیت کم در حال حاضر به طور وسیعی به عنوان جاذب، آنتی باکتریال و الکترود به کار می روند.<sup>۲۵</sup> با اینحال نانوذرات CuNiFe<sub>2</sub>O<sub>4</sub> در کاربردهای عملی تمایل به تجمع به دلیل سطح انرژی بالا داشته و در نتیجه منجر به کاهش بازدهی فرآیند می گردد. برای غلبه بر این مشکل، محققین استفاده از مواد حامی مناسب برای جلوگیری از پراکنده شدن پیشنهاد دادند.<sup>۲۶</sup> از میان مواد کربنی، اخیراً اندازه ذرات پیشنهاد دادند. از میان مواد کربنی، اخیراً نانوتیوب های کربنی به عنوان سیلندرهای توخالی ساخته شده از اتم های کربن به دلیل مساحت سطح ویژه و واکنش پذیری بالا مورد ملاحظه قرار گرفته است. این مواد مشتق شده از یک اتم لایه ضخیم کربن لاتیک حاوی تعداد زیادی

CuNiFe<sub>2</sub>O<sub>4</sub> بوسیله دستگاه میکروسکوپ الکترونی روبشی نشر میدانی (FESEM) مدل MIRA III و TESCAN مدل ۱۲۰CM TEM عبوری (TEM) مدل تعیین شد. آنالیز عنصری نانوکامپوزیت بوسیله طیف سنجی پراش انرژی پرتو ایکس (EDX) یا EDS مورد بررسی قرار گرفت. گروه های عملکردی سطحی نمونه بوسیله طیف سنجی تبدیل فوریه مادون قرمز (FTIR) مدل AVATAR Thermo در محدوده ۴۰۰ تا ۴۰۰۰ بر سانتی متر مورد ارزیابی قرار گرفت و در نهایت ساختار کریستالین (X-ray) MWCNT-CuNiFe<sub>2</sub>O<sub>4</sub> بوسیله آنالیز پراکنش (XRD) مدل PW ۱۷۳۰ تعیین ویژگی شد.

### روش انجام آزمایش

پژوهش حاضر از نوع مطالعات کاربردی بود که در آزمایشگاه شیمی آب و فاضلاب دانشگاه علوم تحقیقات واحد بوشهر در یک راکتور ناپیوسته با حجم ۵۰ میلی لیتر انجام شد. برای شروع آزمایشات تجزیه کاتالیتیک، ابتدا مقدار مشخصی از نانوکاتالیست و PMS به ۱۰۰ میلی لیتر محلول pH ۵.۰ میلی گرم بر لیتر رنگ RB اضافه شد. سپس pH محلول در محدوده از پیش تعیین شده بوسیله ۰/۱ مولار اسید سولفوریک و سدیم هیدروکسید تنظیم شد. برای ارزیابی بهتر کیتیک فرآیند، در فواصل زمانی مختلف ۵ میلی لیتر نمونه با پیپت برداشته شده و سریعاً برای حذف جامدات فیلتر گردید. نمونه خروجی برای تعیین بازدهی از طریق دستگاه اسپکتروفوتومتری UV-vis در طول موج ۶۰۰ نانومتر تعیین غلظت شد. برای تعیین شرایط بهینه، آزمایشات با pH ۲-۱۱، غلظت کاتالیست (۷۵۰-۱۰ میلی گرم بر لیتر)، غلظت گرم بر لیتر) و زمان واکنش (۹۰-۰ دقیقه) انجام شد. آزمایشات مهار کنندگی با ترت بوتیل الكل (TBA)، اتانول (EtOH)، بنزوکینون (BQ) و پتاسیم یدید (KI) برای

در این مطالعه تجربی برای ساخت نانوزرات و انجام آزمایشات اکسیداسیون، موادی همچون فریک کلراید (FeCl<sub>3</sub>·6H<sub>2</sub>O)، کوپریک کلراید (CuCl<sub>2</sub>·2H<sub>2</sub>O)، نیکل کلراید (NiCl<sub>2</sub>·6H<sub>2</sub>O)، سدیم هیدروکسید (NaOH)، اتانول، ترت بوتیل الكل (TBA) و بنزوکینون از یک شرکت ایرانی MWCNTS تهیه شد. نانوتیوب کربنی چند دیواره ای (خلوص < ۹۵ درصد، قطر داخلی: ۱۰-۵ nm) از یک شرکت ایرانی به عنوان ماده حامی ناوزرات فریت خریداری شد. پراکسی مونوسولفات با نام تجاری اکسون (KHSO<sub>5</sub>·0.5KHSO<sub>4</sub>·0.5K<sub>2</sub>SO<sub>4</sub>) به عنوان اکسیدان از نمایندگی سیگما آلدریچ در شهر بوشهر تهیه شد. راکتیو بلک ۵ با خلوص بیش از ۵۰ درصد و وزن مولکولی ۹۹۱/۸۲ گرم بر مول به عنوان آلاینده هدف از یک شرکت تولید کننده رنگ در ایران فراهم شد.

به منظور ساخت نانوکامپوزیت به روش هم ترسیبی، ابتدا ۲ گرم نانوتیوب در ۱۰۰ میلی لیتر آب دی یونیزه تحت اولتراسونیک (مدل Bandoelin DT ۱۵۶) برای ۱۵ دقیقه پراکنده شد. سپس ۱ گرم فریک کلراید، ۰/۵ گرم کوپریک کلراید و ۰/۲۵ گرم نیکل کلراید به محلول حاوی نانوتیوب چند دیواره ای در حال اختلاط اضافه شده و این مخلوط برای ۶۰ دقیقه هم زده شد. بعد از این فرآیند، pH مخلوط در حمام آب (۸۰-۹۰ درجه سانتی گراد) به ۱۱-۱۲ با استفاده از سدیم هیدروکسید غلیظ تنظیم شد و سپس برای ۴ ساعت تحت استیر مداوم نگه داشته شد. جامدات تهیه شده با استفاده از فیلتر واتمن جداسازی شد و سپس تا زمان حذف ناخالصی و تنظیم pH به ۷ جامدات با آب دی یونیزه شستشو داده شد. در نهایت جامدات خشک شده در دمای اتاق برای بهبود پایداری و کریستالی در یک کوره با دمای ۳۰۰ درجه سانتی گراد برای ۲ ساعت قرار داده شد. بعد از تهیه نانوکامپوزیت، ویژگی های سطحی و نانوساختار MWCNTs- تعیین شد.

روی دیواره بیرونی MWCNT بارگذاری شده است. نتایج عکس TEM در شکل ۱ ب، ضمن تایید آنالیز FESEM نشان می دهد که نانوذرات فریت مخلوط با پراکندگی بیشتر روی سطح MWCNT حضور پیدا کرده اند. برای تایید مورفولوژی سطحی کاتالیست آنالیز EDX انجام شده و نتایج آن در شکل ۱ ج نشان داده شده است. طبق این شکل، سیگنال های قوی بین ۰ تا ۹ keV مشاهده شد که مربوط به حضور O, Fe, Ni, Cu و C در نمونه می باشد.

طیف FTIR نانوکامپوزیت MWCNTs-CuNiFe<sub>2</sub>O<sub>4</sub> در شکل ۲ الف نشان داده شده است. در این شکل، باند جذب قوی در ۱۴۲۸ cm<sup>-1</sup> مربوط به مد گرافیت ناشی از کربن هیبرید شده است که طبق مطالعات قبلی یک پیک مشخص از کربن نانوتیوب می باشد.<sup>۳۴</sup> پیک معمول کشیده در ۳۴۱۹ cm<sup>-1</sup> به ارتعاشش کششی OH از گروه هیدروکسیل اشاره دارد. باندهای جذب در ۱۷۳۵ cm<sup>-1</sup> و ۱۶۲۵ cm<sup>-1</sup> به ترتیب به ارتعاشش کششی گروه های کربونیل و گروه کربوکسیلات مربوط می باشد. علاوه بر این، دو باند جذب اطراف ۴۴۰ و ۵۸۰ cm<sup>-1</sup> به کمپلکس های چهار وجهی و هشت وجهی اشاره دارد، که طبق مطالعات قبلی<sup>۳۵, ۳۶</sup> این ها ساختار اسپینال فریت نانوکاتالیست سنتز شده را نشان میدهد. ساختار کریستالی MWCNTs-CuNiFe<sub>2</sub>O<sub>4</sub> با استفاده از آنالیز XRD مورد ارزیابی قرار گرفته و نتایج در شکل ۲ ب نشان داده شده است. همان طور که میتوان مشاهده کرد این نانوکامپوزیت هفت پیک تشخیصی را در ۱۶°, ۲۳°, ۲۹/۴۶°, ۳۲/۳۳°, ۵۰/۳۲°, ۵۷/۲۱°, ۸۹/۶۶° و ۹۶/۲۱° دارد. در این آنالیز پیک تیز پراکنشی ° ۲۶/۷۰ MWCNTs به دلیل تخریب آن در طی فرآیند بارگذاری نانوذرات CuNiFe<sub>2</sub>O<sub>4</sub> ناپدید شده است.

تعیین گونه های فعال واکنش پذیر صورت پذیرفت. پایداری و قابلیت بازیافت کاتالیست در ۵ سیکل واکنش متوالی بوسیله همان کاتالیست انجام شد. برای بررسی پایداری، نانوکامپوزیت مورد استفاده ابتدا بوسیله فیلتر جداسازی شده و سپس با آب مقطر شستشو داده شد. در نهایت در یک آون ۶۰ درجه سانتی گراد خشک شده و سپس دوباره در همان وضعیت مشابه مورد استفاده قرار گرفت. قابلیت کاربرد سیستم MWCNTs/CuNiFe<sub>2</sub>O<sub>4</sub> برای تصفیه ۵۰ میلی گرم بر لیتر RB5 اضافه شده به آب شیر (pH = ۷/۳)، کل جامدات محلول = ۸۲۵ میلی گرم بر لیتر، کلرور = ۳۰۲ میلی گرم بر لیتر و قلیائیت = ۶۰ میلی گرم بر لیتر کلسیم کربنات) و پساب نساجی (pH = ۷/۵، غلاظت COD = ۵۵۰ میلی گرم بر لیتر و کلرور = ۱۲۰ میلی گرم بر لیتر) مورد بررسی قرار گرفت. نمونه های واقعی تهیه شده قبل از انجام آزمایشات اکسیداسیون بوسیله فیلتر واتمن ۰/۴۵ میکرومتر برای حذف جامدات معلق صاف شد. درصد بازدهی (R) و کیتیک تجزیه کاتالیتیک رنگ بوسیله معادله ۱ و ۲ محاسبه شد. در این معادلات C<sub>0</sub> و C<sub>t</sub> به ترتیب غلاظت اولیه و نهایی RB5, K نرخ ثابت درجه اول و t زمان واکنش (دقیقه) می باشند .

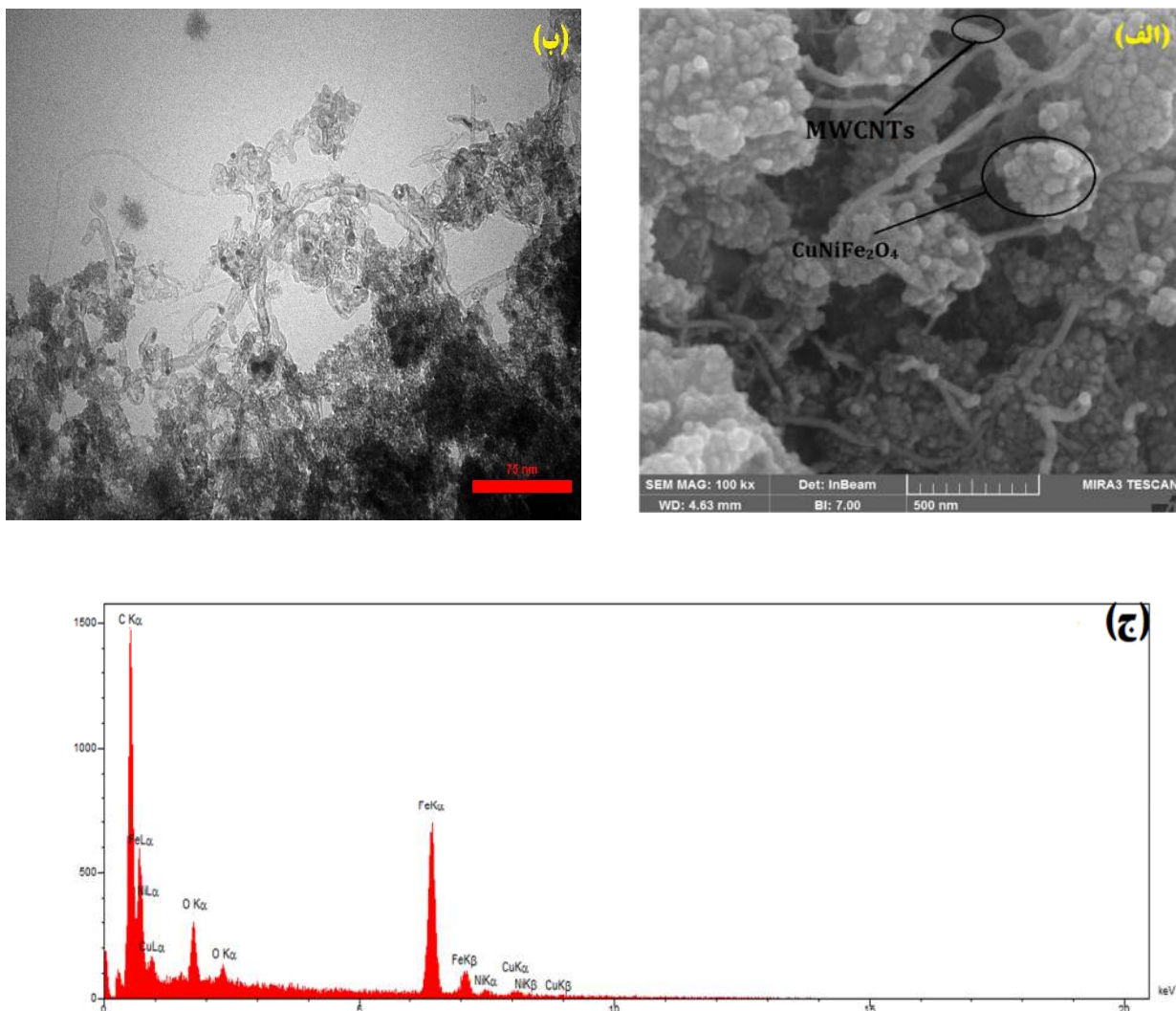
$$R (\%) = \frac{(C_0 - C_t)}{C_0} \times 100 \quad (1)$$

$$\ln \frac{C_0}{C_t} = -Kt \quad (2)$$

## نتایج

### MWCNTs-CuNiFe<sub>2</sub>O<sub>4</sub> ویژگیهای نانوکامپوزیت

ویژگی های سطحی نانوذرات سنتز شده بوسیله عکس FESEM مورد بررسی قرار گرفته و نتایج آن در شکل ۱ الف نشان داده شده است. همان طور که می توان مشاهده کرد نانوذرات CuNiFe<sub>2</sub>O<sub>4</sub> با اندازه ذرات کمتر از ۱۰۰ نانومتر

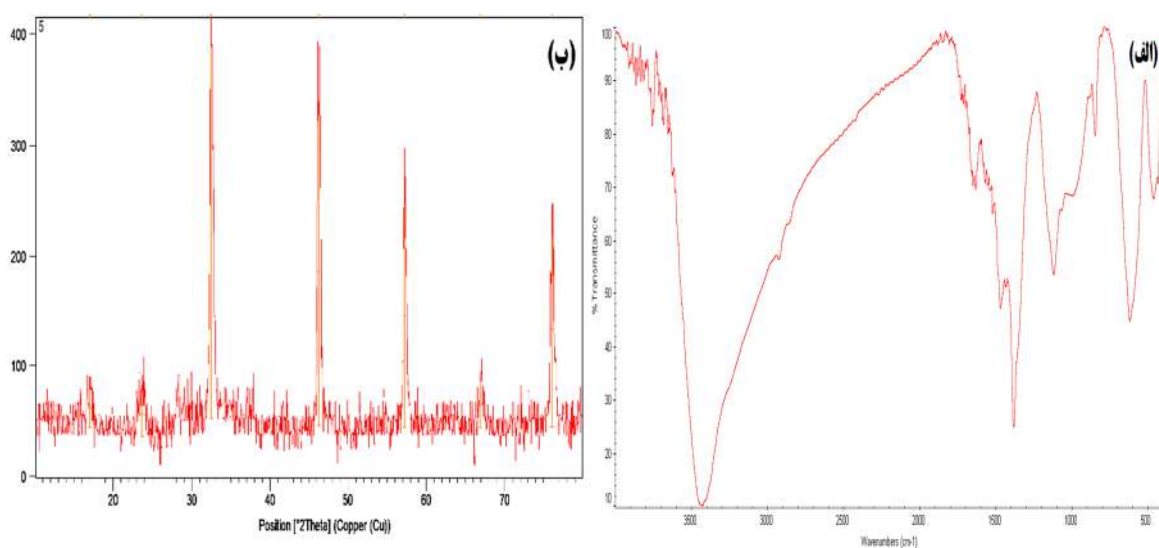
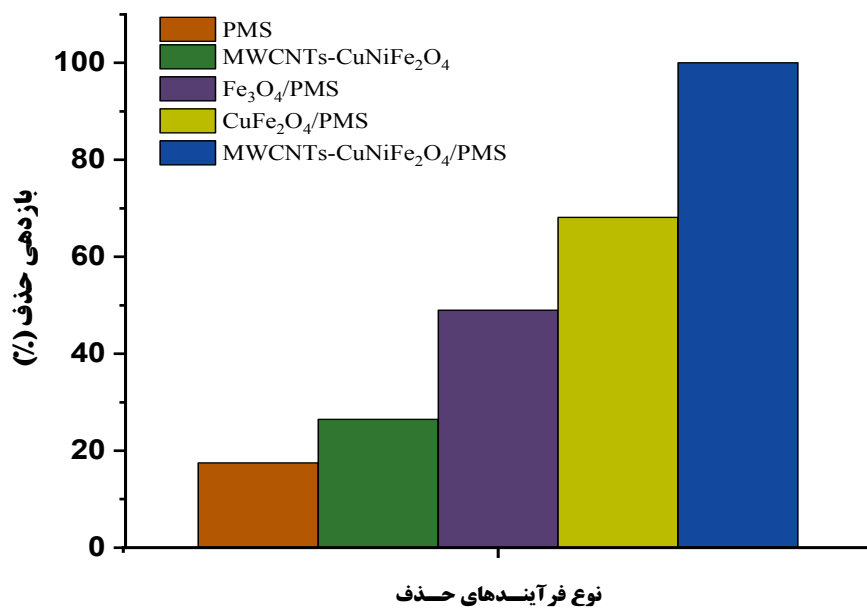


شکل ۱: عکس FESEM (الف)، TEM (ب) و EDX (ج) نانوکامپوزیت MWCNTs-CuNiFe<sub>2</sub>O<sub>4</sub>

میتوان مشاهده کرد بازدهی حذف فرآیند MWCNTs-CuNiFe<sub>2</sub>O<sub>4</sub>/PMS (۱۰۰ درصد) نسبت به فرآیندهای MWCNTs-CuFe<sub>2</sub>O<sub>4</sub> (۲۶/۴۴ درصد)، PMS به تنهایی (۱۷/۴۴ درصد)، Fe<sub>3</sub>O<sub>4</sub>/PMS (۴۸/۹۵ درصد) و CuFe<sub>2</sub>O<sub>4</sub>/PMS (۶۸/۰۹ درصد) بالا بود.

## مقایسه فرآیندهای حذف رنگ RB ۵

نمودار ۱ منحنی تجزیه RB ۵ در سیستم های مختلف حذف تحت شرایط pH ۷، مقدار کاتالیست ۱۰۰ میلی گرم بر لیتر، غلظت ۱ میلی مolar، غلظت اولیه ۵۰ میلی گرم بر لیتر و زمان ۶۰ دقیقه نشان می دهد. همان طور که

شکل ۲: طیف های FTIR (الف) و XRD (ب) نانو کامپوزیت MWCNTs-CuNiFe<sub>2</sub>O<sub>4</sub>

نمودار ۱: بازدھی حذف رنگ RB5 در سیستم های مختلف

بر لیتر انجام شد. همان طور که از نمودار ۲ الف پیداست با افزایش pH اولیه از ۲ به ۷ بازدھی بطور قابل توجهی از ۷۳/۴۲ درصد به ۱۰۰ درصد در زمان واکنش ۶۰ دقیقه افزایش می یابد. با اینحال با افزایش بیشتر pH به ۱۱ بازدھی با شبیه تنی به ۷۵/۶۹ درصد کاهش می یابد. تاثیر غلظت

به منظور بررسی تاثیر pH اولیه (۲، ۵، ۷، ۹ و ۱۱) بر کارایی فرآیند MWCNTs-CuNiFe<sub>2</sub>O<sub>4</sub>/PMS آزمایشات کاتالیتیک در شرایط غلظت اولیه رنگ ۵۰ میلی گرم بر لیتر، مقدار ۱ میلی مولار و مقدار کاتالیست ۱۰۰ میلی گرم

### تاثیر پارامترها عملیاتی

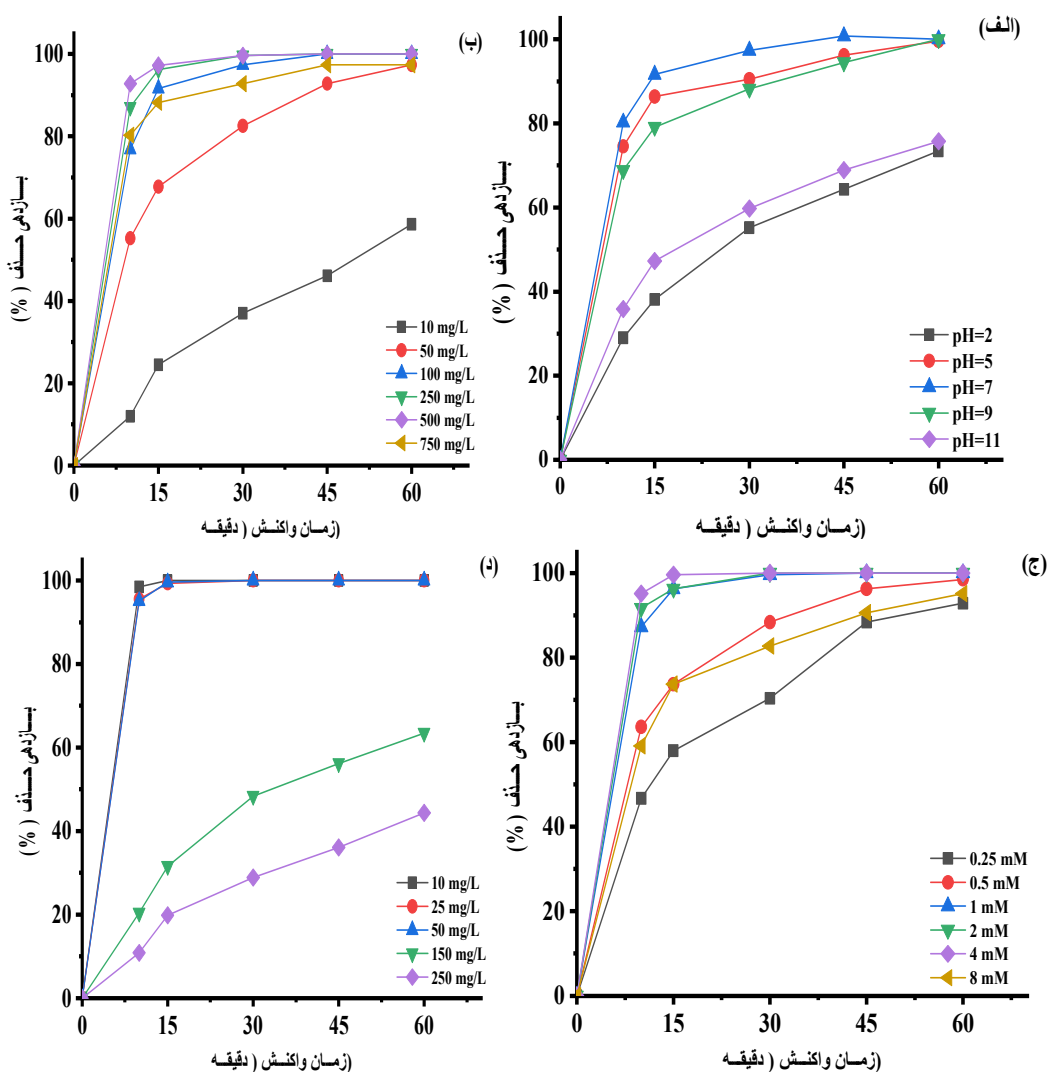
قابلیت بازیافت نانوکامپوزیت MWCNT-CuNiFe<sub>2</sub>O<sub>4</sub> برای مطالعه پایداری آن در کاربردهای عملی تصفیه محلول های آبی مورد بررسی قرار گرفت. نانوزرات سنتر شده برای ۵ سیکل واکنش متواالی در شرایط مشابه شامل pH ۷، غلظت رنگ ۵۰ میلی گرم بر لیتر، مقدار PMS ۴ میلی مolar و مقدار کاتالیست ۲۵۰ میلی گرم بر لیتر بکار گرفته شده و درصد تجزیه پایش شد. همان طور که در نمودار ۳ نشان داده شده است، با افزایش تعداد ران از ۱ به ۵، بازدهی تجزیه در ۱۵ دقیقه از ۱۰۰ درصد به ۷۹/۳۴ درصد کاهش می یابد. تغیرات ساختار عاملی کامپوزیت قبل و بعد از چهار ران بوسیله طیف های FTIR مورد بررسی قرار گرفت. همانطور که در شکل ۳ نشان داده شده است طیف FTIR کاتالیست بعد از استفاده تغییری قابل مشاهده نداشته است.

### شناسایی گونه های واکنش پذیر فعال

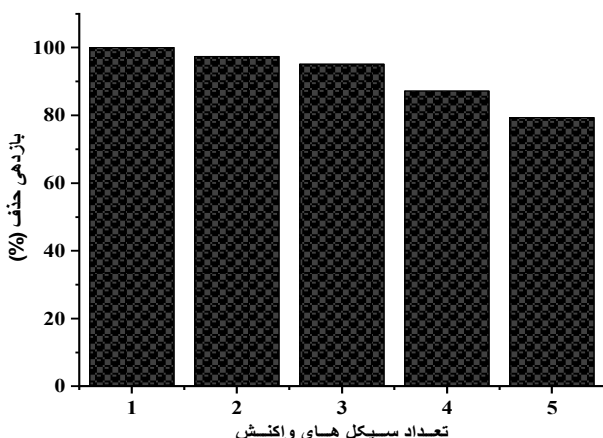
آزمایشات محدودکنندگی با استفاده از اسکونجرهای مختلف (TBA، اتانول، BQ و KI) در شرایط pH ۷، مقدار PMS ۴ میلی مolar، غلظت کامپوزیت ۲۵۰ میلی گرم بر لیتر و غلظت ۵۰۵RB میلی گرم بر لیتر انجام شد. همان طور که در نمودار ۴ الف میتوان مشاهده کرد با حضور اسکونجرهای TBA، BQ و KI بازدهی به ترتیب از ۱۰۰ درصد در محلول بدون اسکونجر به ۹۷/۳۵، ۶۱/۳۳، ۶۱/۴۴ و ۷/۳۱ درصد کاهش می یابد. نرخ کیتیک در این مواد به ترتیب از ۰/۳۵۹ به ۰/۱۸۲، ۰/۰۲۰، ۰/۰۰۹ و ۰/۰۰۳ min<sup>-1</sup> کاهش یافت (نمودار ۴ ب).

نانوکامپوزیت در سیستم کاتالیتیک روی تجزیه RB<sub>5</sub> در شرایط pH ۷، غلظت ۱ میلی مolar و غلظت ۵۰۵RB میلی گرم بر لیتر انجام شده و نتایج آن در نمودار ۲ ب نشان داده شده است. طبق این شکل با افزایش غلظت ذرات از ۱۰ به ۵۰۰ میلی گرم بر لیتر بازدهی حذف در زمان ۴۵ دقیقه از ۵۸/۶۲ درصد به ۱۰۰ درصد افزایش می یابد. با اینحال با افزایش بیشتر مقدار کاتالیست به ۷۵۰ میلی گرم بر لیتر PMS بازدهی به ۹۷/۳۲ درصد کاهش می یابد. تاثیر مقدار pH MWCNT-CuNiFe<sub>2</sub>O<sub>4</sub> در شرایط روی فرآیند کاتالیتیک میتوان از شکل مشاهده کرد با افزایش ۷، مقدار کاتالیست ۲۵۰ میلی گرم بر لیتر و غلظت اولیه رنگ ۵۰RB میلی گرم بر لیتر در نمودار ۲ ج نشان داده شده است. همان طور که میتوان از شکل مشاهده کرد با افزایش اولیه مقدار PMS از ۰/۲۵ به ۴ میلی مolar بازدهی بطور قابل توجهی در زمان ۳۰ دقیقه از ۷۰/۳۴ درصد به ۱۰۰ درصد بهبود می یابد. این درحالی که با افزودن بیشتر مقدار (PMS ۸ میلی مolar) بازدهی تجزیه ۵RB از ۱۰۰ درصد به ۸۲/۷۲ درصد کاهش می یابد. تاثیر غلظت اولیه رنگ از ۴ میلی مolar و غلظت ۵RB در شرایط pH ۷، مقدار PMS ۴ میلی مolar و غلظت نانوکامپوزیت ۲۵۰ میلی گرم بر لیتر مورد بررسی قرار گرفته و نتایج آن در نمودار ۲ د نشان داده شده است. همان طور که میتوان مشاهده کرد با افزایش غلظت رنگ از ۱۰ به ۲۵۰ میلی گرم بر لیتر تجزیه ۵RB از ۱۰۰ درصد به ۱۹/۸۳ درصد در زمان ۱۵ دقیقه کاهش می یابد.

### پایداری نانوکامپوزیت

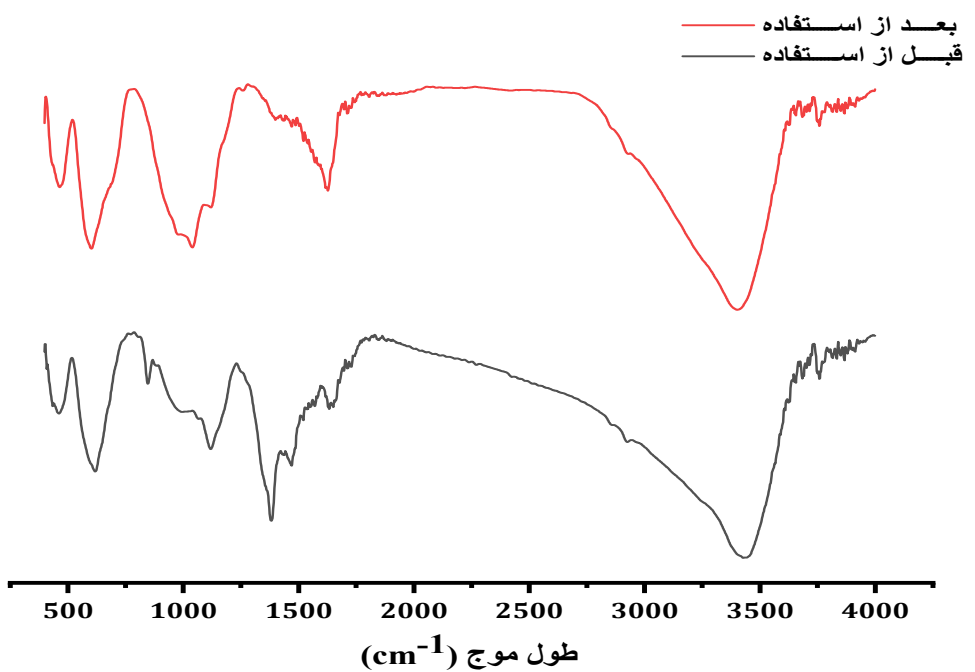


نمودار ۲: تاثیر پارامترهای عملیاتی همچون pH اولیه (الف)، مقدار نانوکامپوزیت (ب)، مقدار PMS و غلظت اولیه رنگ روی کارایی فرآیند MWCNTs-CuNiFe<sub>2</sub>O<sub>4</sub>/PMS

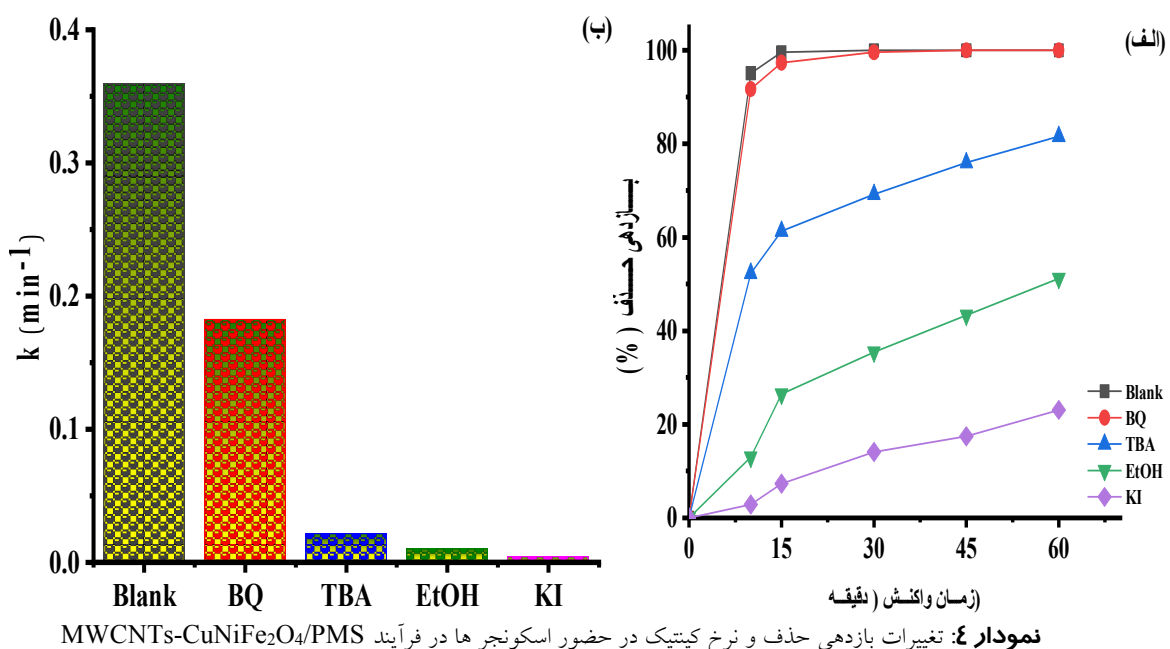


نمودار ۳: تغییرات بازدهی حذف رنگ RB5 در سیکل واکشن متواالی فرآیند MWCNTs-CuNiFe<sub>2</sub>O<sub>4</sub>/PMS

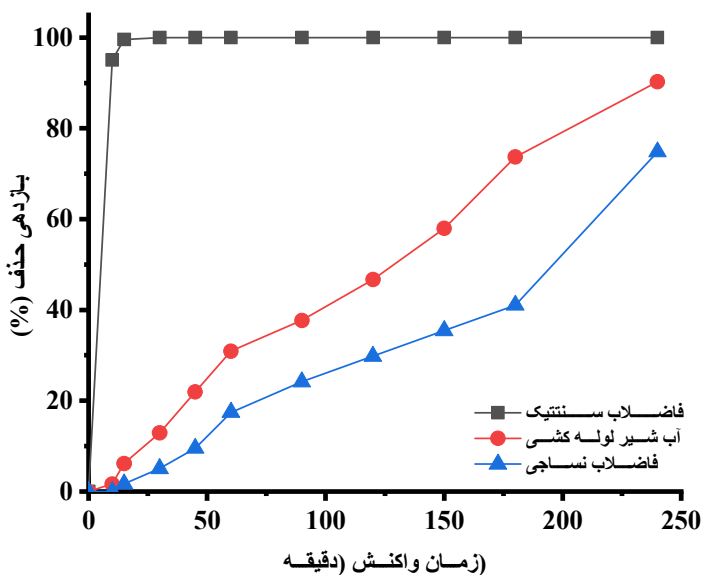
بررسی کارایی نانوزرات مس نیکل فریت بارگذاری شده روی نانوتیوب کربنی چند دیواره ای در فعال سازی پراکسی مونوسولفات



شکل ۳: طیف FTIR نانوکامپوزیت MWCNTs-CuNiFe<sub>2</sub>O<sub>4</sub> قبل و بعد از استفاده



نمودار ۴: تغییرات بازدهی حذف و نرخ کیتیک در حضور اسکونجر ها در فرآیند MWCNTs-CuNiFe<sub>2</sub>O<sub>4</sub>/PMS

نمودار ۵: تغییرات بازدهی حذف رنگ در نمونه های واقعی بوسیله فرآیند MWCNTs-CuNiFe<sub>2</sub>O<sub>4</sub>/PMS

موردن بررسی قرار گرفت. نتایج در نمودار ۵ نشان داد که حداکثر بازدهی بالا برای فاضلاب سنتیک (۱۰۰ درصد)، آب شیر لوله کشی (۹۰/۲۵ درصد) و فاضلاب نساجی (۷۴/۸۴ درصد) به ترتیب می تواند در زمان واکنش های ۳۰، ۲۴۰ و ۲۴۰ دقیقه اتفاق بیافتد.

را بطور قابل توجهی افزایش داد. فعالیت کاتالیتیکی آنها در تجزیه ۵RB در زمان واکنش ۶۰ دقیقه به ترتیب ۴۸/۹۵ درصد و ۶۸/۰۹ درصد بود. این نتایج نشان میدهد که کاتالیست های هتروژنی توانایی تجزیه باند O-O PMS برای تولید گونه های واکنش پذیر دارند. نتایج مشابهی بوسیله Wang و همکاران برای فعالیت اکسیداسیونی کاتالیست های هتروژنی در تجزیه PMS گزارش شد.<sup>۳۷</sup> در مقایسه با این کاتالیست ها، MWCNTs-CuNiFe<sub>2</sub>O<sub>4</sub> بازدهی فعال سازی PMS برای تجزیه ۵RB بطور قابل ملاحظه ای افزایش داد، بطوری که ۱۰۰ درصد تجزیه ۵RB در زمان واکنش ۶۰ دقیقه اتفاق افتاد. این بهبود بازدهی میتواند به دلیل اثر کاتالیتیک سرنژیستی بین گونه های فلزی و MWCNTs در تجزیه

## تصفیه محلول های واقعی

عملکرد سیستم MWCNTs-CuNiFe<sub>2</sub>O<sub>4</sub>/PMS روی فاضلاب سنتیک، آب شیر لوله کشی و فاضلاب نساجی در شرایط pH ۷، مقدار ۴ میلی مolar، غلظت کامپوزیت ۵۰ میلی گرم بر لیتر و غلظت ۵RB ۵۰ میلی گرم بر لیتر

## بحث

### مقایسه فرآیندهای حذف رنگ ۵RB

نمودار ۱ تجزیه ۵RB با سیستم های کاتالیتیک مختلف در pH ۷، مقدار کاتالیست ۱۰۰ میلی گرم بر لیتر، غلظت اولیه ۵RB ۵۰ میلی گرم بر لیتر و مقدار ۱ میلی مolar نشان میدهد. همان طور که مشاهده می شود PMS و MWCNTs-CuNiFe<sub>2</sub>O<sub>4</sub> به تنها بی ای بازدهی تجزیه پایین تر از ۳۰ درصد ۶۰ دقیقه واکنش دارد، که پیش بینی می شود حذف ۵RB بوسیله اکسیداسیون PMS و جذب MWCNTs-CuNiFe<sub>2</sub>O<sub>4</sub> ناچیز باشد. افروزن کاتالیست های هتروژنی مختلف همچون CuFe<sub>2</sub>O<sub>4</sub> و Fe<sub>3</sub>O<sub>4</sub> در محلول PMS و ۵RB بازدهی تجزیه

PMS در وضعیت اسیدی و خشی بصورت  $\text{HSO}_5^-$  حضور داشته و در pH قلیایی به مقدار بالا به شکل یون  $\text{SO}_5^{2-}$  موجود می باشد. با توجه به این موارد، انتظار می رود که جذب موثر مولکول PMS بر روی کاتالیست در pH کمتر از ۷/۸ اتفاق بیفتند زیرا تحت این شرایط بار سطحی کاتالیست مثبت و مولکول های PMS دارای بار منفی خواهند بود. نتایج مشابهی بوسیله Wang و همکاران برای تاثیر pH در سیستم  $\text{Dong}.\text{NiFe}_2\text{O}_4/\text{PMS}$ <sup>37</sup> و  $\text{CuFe}_2\text{O}_4-\text{kaolinite}/\text{PMS}$  در pH اسیدی میتواند در دلیل اثر محدودکنندگی یون هیدروژن ( $\text{H}^+$ ) روی رادیکال های  $\text{SO}_4^{2-}$  و  $\text{OH}^\bullet$  تولیدی از تجزیه PMS بوسیله نانوکامپوزیت باشد. علاوه بر این، پایداری نسبتا بالای PMS در مقادیر بسیار پایین pH منجر به کاهش واکنش آن با کاتالیست می گردد. کاهش بازدهی در pH بسیار قلیایی میتواند به دلیل تجزیه خود بخودی PMS و ته نشینی یونهای فلزی به فرم کمپلکس های هیدروکسیلی همچون  $\text{M(OH)}_2$  و  $\text{M(OH)}_3$  باشد. Xu و همکاران با بررسی سیستم  $\text{PMS/G-CoFe}_2\text{O}_4$  برای تجزیه دی متیل فتالات گزارش دادند که بالاترین تجزیه آلاینده در محدوده ۴ تا ۸/۳۵ اتفاق افتاده و در pH قلیایی به دلیل تبدیل  $\text{SO}_4^{2-}$  به  $\text{O}^\bullet$ <sup>38</sup> بازدهی تجزیه حذف دی متیل فتالات کاهش می یابد. Su<sup>39</sup> و همکاران فعالیت هتروژنی PMS بوسیله  $\text{CoxFe}_{3-x}\text{O}_4$  برای تجزیه Rhodamine B مورد بررسی قرار داده و دریافتند که حداقل بازدهی حذف در pH بین ۵ و ۶ اتفاق افتاده و بازدهی حذف آن در  $\text{pH} > ۳$  به دلیل عدم فعل شدن PMS توسط نانوکاتالیست کاهش می یابد.<sup>40</sup>

### اثر مقدار کاتالیست بر کارایی فرآیند

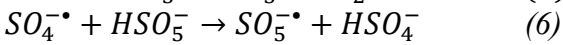
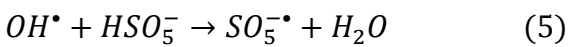
تاثیر مقدار نانوکامپوزیت روی تجزیه pH ۵ RB در سیستم  $\text{MWCNTs-CuNiFe}_2\text{O}_4/\text{PMS}$  در نمودار ۲ ب نشان داده است. طبق این شکل، با افزایش مقدار نانوکامپوزیت از

PMS برای تولید گونه های رادیکال در تجزیه RB ۵ باشد. نتایج مشابه ای بوسیله Rajabzadeh و همکاران برای تجزیه ترکیب آلی بوسیله  $\text{CuNiFe}_2\text{O}_4$  گزارش شد.<sup>36</sup> Chen و همکاران<sup>۳۳</sup> در مطالعه خود پیدا کردند گروه های عملکردی CNT از طریق انتقال الکترون به PMS منجر به فعل سازی آن برای تولید بیشتر گونه های واکنش پذیر می شود. با توجه به این نتایج، میتواند درک کرد که عملکرد کاتالیتیک  $\text{MWCNTs-CuNiFe}_2\text{O}_4$  در مدت زمان کم با کنترل تولید رادیکال ها باعث تجزیه بیشتر RB ۵ نسبت به دیگر کاتالیست های اشاره شده در بالا می شود. علاوه بر این، نتایج نقش برهمکنش  $\text{Ni, Cu, MWCNTs}$  و Fe روی نانوکاتالیست در فعل سازی PMS تاکید می کند.

### اثر pH اولیه بر کارایی فرآیند

pH اولیه یکی از پارامترهای بسیار مهم در فرآیندهای کاتالیتیک به دلیل تاثیر روی یونیزاسیون PMS و RB<sup>۵</sup>، تغییر بار سطحی کاتالیست و پتانسیل اکسیداسیون گونه های رادیکال فعل می باشد. از اینرو تاثیر pH اولیه محلول روی تجزیه RB بوسیله  $\text{MWCNTs-CuNiFe}_2\text{O}_4/\text{PMS}$  مورد بررسی قرار گرفت. همان طور که میتوان در نمودار ۲ الف مشاهده کرد حداقل بازدهی حذف در pH خشی (۷=pH) اتفاق می افتد. این در حالی که بازدهی حذف در pH بسیار اسیدی (۲=pH) و قلیایی (۱۱=pH) به ترتیب ۷۳/۴۲ و ۷۵/۶۹ درصد در زمان واکنش ۴۵ دقیقه بود. بازدهی مناسب تجزیه RB ۵ در رنج pH خشی را میتوان برپایه نقطه بار صفر نانوکامپوزیت و ثابت تفکیک اسید (pKa) PMS توضیح داد. برپایه آنالیز زتا، نقطه بار صفر نانوکامپوزیت  $\text{MWCNTs-CuNiFe}_2\text{O}_4$  اطراف ۷/۸ تعیین شد. بنابراین بار سطحی نانوکاتالیست هنگامی که  $\text{pH} < \text{pHpzc}$  باشد مثبت خواهد شد، این در حالی که سطح کامپوزیت زمانی منفی می شود که  $\text{pH} > \text{pHpzc}$  باشد. از طرف دیگر فرم های یونی

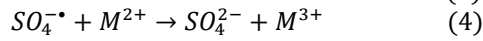
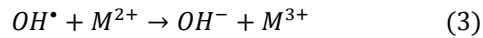
افزایش بیشتر دوزاج PMS به ۸ میلی مولار بازدهی تجزیه بطور قابل توجهی کاهش می دهد، که این میتواند به واکنش PMS با رادیکال های آزاد و تولید گونه های واکنش پذیر با پتانسیل اکسیداسیون ضعیف تر مرتبط باشد (معادله ۵ و ۶). این نتایج با مطالعه Tan و همکاران برای تجزیه سولفات‌یازین در سیستم VC@Fe<sub>3</sub>O<sub>4</sub>/PMS مطابقت خوبی داشت. در این مطالعه با افزایش اولیه مقدار PMS از ۰/۱ به ۰/۳ میلی مولار بازدهی از ۲۰/۶ درصد به ۵۶/۶ درصد افزایش یافت. با اینحال با افزایش بیشتر مقدار PMS به ۱ میل مولار بازدهی به ۴۶/۸ درصد کاهش یافت.<sup>۴۳</sup> Yao و همکاران (۲۰۱۲) با بررسی تجزیه فنل با استفاده از فرآیند G/Co<sub>3</sub>O<sub>4</sub>/PMS به این نتیجه رسیدند که با افزایش غلظت PMS از ۰/۰۵ به ۰/۳ گرم در لیتر راندمان حذف فنل افزایش می یابد.<sup>۴۴</sup> Gong و همکاران (۲۰۱۷) در مطالعه خود به بررسی فعال سازی هتروژنی PMS با هیرید کبالت/آهن با هدف تجزیه رنگ روdamین B پرداختند. نتایج آنها نشان داد که با افزایش غلظت PMS از ۰/۱۵ تا ۱ گرم بر لیتر راندمان حذف افزایش داشته، در حالی که در غلظت های ۱ تا ۱/۵ گرم بر لیتر تغییر چندانی در راندمان حذف ایجاد نشده و در غلظت‌های بالاتر از ۱/۵ گرم بر لیتر از PMS راندمان حذف کاهش داشته است.<sup>۴۵</sup>



### اثر غلظت اولیه RB ۵ بر کارایی فرآیند

برای بررسی اثر غلظت اولیه RB، آزمایشات با غلظت های مختلف RB در pH ۷، مقدار کامپوزیت ۲۵۰ میلی گرم بر لیتر، مقدار PMS ۴ میلی مولار انجام شد. همان طور که در نمودار ۲ د مشاهده می شود یک کاهش قابل توجهی در تجزیه با افزایش غلظت اولیه RB مشاهده شد. این کاهش را این طور میتوان توضیح داد که، زمانی که غلظت آلیند

۱۰ به ۲۵۰ میلی گرم بر لیتر بازدهی تجزیه RB از ۳۶/۹۹ درصد به ۱۰۰ درصد در زمان واکنش ۳۰ دقیقه بهبود می یابد. این افزایش بازدهی می تواند به دلیل افزایش سایت های فعال قابل دسترسی کاتالیست برای جذب PMS و آلینده باشد. با افزایش مقدار کاتالیست به بیش از ۵۰۰ میلی گرم بر لیتر بازدهی تجزیه به ۹۲/۷۷ درصد کاهش یافت. این میتواند به مصرف SO<sub>4</sub><sup>2-</sup> و OH<sup>-</sup> بوسیله یونهای فلزی از طریق واکنش محدود کنندگی بین گونه های فلزی با رادیکال های آزاد مربوط باشد (معادلات ۳ و ۴). نتایج مشابهی بوسیله Tian و Co<sub>3</sub>O<sub>4</sub>/PMS همکاران برای تجزیه سولفات‌یازین بوسیله گزارش شد. در این مطالعه با افزایش مقدار کاتالیست از ۱۶۰ به ۴۰۰ mg/L بازدهی از ۵۰ درصد به ۸۰ درصد در زمان واکنش ۶۰ دقیقه افزایش یافت.<sup>۴۶</sup> در مطالعه Xu و همکاران (۲۰۱۵) که از فرآیند گرافن/کبالت مگنتیک به عنوان یک فعال ساز پراکسی مونو سولفات در تجزیه دی متیل فتالات استفاده کرده بودند، بهترین عملکرد فرآیند در غلظت ۵/۰ گرم بر لیتر از کاتالیست گزارش شد به طوری که با افزایش غلظت کاتالیست به بیش از ۵/۰ گرم بر لیتر راندمان حذف دی متیل فتالات بطور قابل توجهی کاهش یافت.<sup>۴۷</sup>



### اثر مقدار PMS بر کارایی فرآیند

نمودار ۲ ج اثر مقدار PMS روی بازدهی تجزیه RB در pH ۷، مقدار MWCNTs-CuNiFe<sub>2</sub>O<sub>4</sub> ۲۵۰ میلی گرم بر لیتر و غلظت ۵ RB ۵ میلی گرم بر لیتر نشان میدهد. همان طور که میتوان مشاهده کرد با افزایش مقدار PMS از ۰/۲۵ به ۴ میلی مولار بازدهی تجزیه در زمان واکنش ۱۵ دقیقه از ۵۷/۹۶ درصد به ۱۰۰ درصد افزایش می یابد. این افزایش بازدهی می تواند به دلیل تولید مقادیر بالای SO<sub>4</sub><sup>2-</sup> و OH<sup>-</sup> در اثر واکنش PMS با MWCNTs-CuNiFe<sub>2</sub>O<sub>4</sub> باشد. با اینحال،

MWCNTs-CuNiFe<sub>2</sub>O<sub>4</sub> در تجزیه طولانی مدت رنگ می باشد. این یافته ها با نتایج گزارش شده توسط دیگر محققین در مورد استفاده چند باره از نانوکاتالیست های برپایه کربن همچون کربن مزوپورز  $\text{CoFe}_2\text{O}_4$ <sup>۴</sup>،  $\text{CoFe}_2\text{O}_4$ <sup>۶</sup> و نانوذرات مگنتیک  $\text{CoxFe}_{3-x}\text{O}_4$ <sup>۷</sup> مشابه دارد. در این مطالعات کاهش تجزیه برپایه کاهش مقدار کاتالیست در فرآیند بازیابی، اشباع و تخریب سایت کاتالیتیک فعال و همچنین آزاد شدن کبالت و آهن از سطح کاتالیست گزارش دادند. علاوه بر این، حضور محصولات واسطه حاصله از تجزیه رنگ روی سطح نانوکاتالیست که می تواند کاتالیزور از طریق قرار گرفتن در سایت های فعال نانوکاتالیست و رقابت با PMS مسموم کند.

### شناسایی گونه های واکنش پذیر

برای مطالعه مکانیسم تجزیه ترکیبات آلی در فرآیندهای اکسیداسیون برپایه فعال سازی اکسیدان ها، نیاز به شناسایی گونه های اکسیژن واکنش پذیر است. رادیکال های آزاد مختلفی همچون  $\text{OH}^\bullet$ ,  $\text{O}_2^\bullet$ ,  $\text{SO}_4^{2-}$  و  $\text{O}^{2-}$  در سیستم های  $\text{MFe}_2\text{O}_4/\text{PMS}$  شناسایی شده، که از میان  $\text{SO}_4^{2-}$  توانایی اکسیداسیون پایین دارد. در مطالعه حاضر، رادیکال های فعال بوسیله آزمایشات محدودکنندگی رادیکال با استفاده از دو اسکونجر متداول TBA و اتانول مورد بررسی قرار گرفت. طبق مطالعات قبلی<sup>۸</sup> اتانول میتواند با نرخ ثابت کیتیک  $\text{M}^{1-\text{s}} \times 10^{11} \times 2,8-1,2$  برای  $\text{OH}^\bullet$  و  $\text{M}^{1-\text{s}} \times 10^{10} \times 7,7-1,6$  برای  $\text{SO}_4^{2-}$  واکنش دهد. این در حالی TBA میتواند با نرخ بسیار بالا با  $\text{M}^{1-\text{s}} \times 10^8$  برای  $\text{OH}^\bullet$  (k<sub>OH</sub>=3.8-7.6×108) نسبت به  $\text{SO}_4^{2-}$  (k<sub>SO4</sub>=4.0-9.1×10<sup>5</sup>) واکنش دهد. نمودار ۴ الف اثر محدودکنندگی TBA و اتانول در pH ۷، مقدار کامپوزیت ۲۵۰ میلی گرم بر لیتر، مقدار PMS ۴ میلی مولار و غلظت ۵۰ میلی گرم بر لیتر نشان میدهد. همانطور که میتوان مشاهده کرد بازدهی تجزیه از ۱۰۰ درصد در شرایط بدون

افزایش می یابد بازده حذف کاهش می یابد، زیرا با ثابت بودن پارامترهایی مثل غلظت PMS و کاتالیست MWCNTs-CuNiFe<sub>2</sub>O<sub>4</sub>، مقدار ثابتی رادیکال آزاد سولفات در محیط تولید می شود و این مقدار رادیکال آزاد سولفات تولیدی، قادر به حذف مقدار مشخصی از مولکول های رنگ می باشند. بنابراین بر اساس مطالعات انجام شده، می توان نتیجه گرفت که برای غلظت های بالاتر آلاینده زمان و غلظت کاتالیست و PMS بیشتری لازم است. در مطالعه ای که Yao و همکاران (۲۰۱۲) به بررسی فعال سازی PMS با کاتالیست G/Co<sub>3</sub>O<sub>4</sub> در تجزیه فنل پرداخته بودند، به این نتیجه رسیدند که با افزایش غلظت اولیه فنل راندمان حذف کاهش می یابد و برای تجزیه غلظتهاي بالاتر فنل با مقادير ثابتی از ترکیبات G/Co<sub>3</sub>O<sub>4</sub> و PMS به زمان بیشتری نیاز است<sup>۹</sup>.

### پایداری و قابلیت بازیافت نانوکامپوزیت

#### MWCNTs-CuNiFe<sub>2</sub>O<sub>4</sub>

پایداری کاتالیتیک کاتالیست یکی از پارامترهای حیاتی در کاربردهای عملی مورد ملاحظه قرار میگیرد. از اینرو آزمایشات بازیافت در سیکل واکنش های متوالی انجام شد و نتایج آن در نمودار ۳ نشان داده شده است. همانطور که میتوان مشاهده کرد با افزایش تعداد سیکل ران از ۱ به ۵، بازدهی تجزیه در ۱۵ دقیقه از ۱۰۰ درصد به ۷۹/۳۴ درصد کاهش می یابد. با اینحال کاتالیست سنتز شده پایداری و قابلیت بازیافت مناسب برای ۴ سیکل واکنش متوالی دارد. کاهش بازدهی در طول سیکل های متوالی مربوط به اشباع سایت های فعال کاتالیست، تخریب سطح فعال و آزادسازی یونهای فلزی باشد. برای بررسی بهتر تغییرات سطح کاتالیست، طیف FTIR کاتالیست قبل و بعد از چهار ران موفقیت آمیز مورد ارزیابی قرار گرفت. همانطور که در شکل ۳ نشان داده شده است طیف کاتالیست بعد از استفاده تغییری قابل مشاهده نداشته است، که این نشان دهنده پایداری عالی

CuNiFe<sub>2</sub>O<sub>4</sub>/PMS ۷۴/۸۴ درصد در زمان واکنش ۲۴۰ دقیقه بدست آمد. این کاهش بازدهی در مقایسه با محلول های قبلی به دلیل مقدار بالا مواد مداخله در محلول می باشد. نتایج مشابهی بوسیله Al Hakim و همکاران برای کاهش کاربرد سیستم UV<sub>254</sub>/PS در تصفیه فاضلاب واقعی مشاهده شد.<sup>۴۹</sup>

### نتیجه گیری

در این مطالعه نانوذرات MWCNTs-CuNiFe<sub>2</sub>O<sub>4</sub> به عنوان کاتالیست نو سنتز شده و برای فعال سازی PMS در تجزیه RB مورد استفاده قرار گرفت. نتایج نشان داد که بازدهی تجزیه سیستم MWCNTs-CuNiFe<sub>2</sub>O<sub>4</sub>/PMS بالاتر نسبت به سیستم های هتروژنی همچون Fe<sub>3</sub>O<sub>4</sub>/PMS و CuFe<sub>2</sub>O<sub>4</sub>/PMS اولیه، مقدار کامپوزیت و غلظت همچون pH می باشد. پایداری و قابلیت بازیافت نشان داد که کاتالیست سنتز شده برای تصفیه محلول آبی سودمند است. برپایه آزمایش محدودکنندگی رادیکال SO<sub>4</sub><sup>•-</sup> به عنوان گونه فعال واکنش پذیر برای تجزیه RB در سیستم MWCNTs-CuNiFe<sub>2</sub>O<sub>4</sub>/PMS شناسایی شد. برپایه نتایج، مطالعه حاضر یک کاتالیست امیدوار کننده برای تجزیه طولانی RB از فاضلاب در رنج وسیع pH فراهم کرد.

### سپاسگزاری

نویسنده‌گان این مقاله بر خود لازم می دانند از دانشگاه آزاد اسلامی واحد علوم تحقیقات بوشهر به جهت تصویب این طرح تحقیقاتی تشکر و قدرانی نمایند.

### Reference

- Yagub MT, Sen TK, Afroze S, Ang HM. Dye and its removal from aqueous solution by adsorption: a review. *Adv Colloid Interface Sci* 2014;209: 172-84.
- Meriç S, Kaptan D, Ölmez T. Color and COD removal from wastewater containing Reactive Black 5 using Fenton's oxidation process. *Chemosphere* 2004;54(3): 435-41.

اسکونجر به ۶۱/۳۳ درصد در حضور ۱۰ میلی مولار TBA کاهش می یابد. این درحالی بازدهی بطور قابل توجهی از ۱۰۰ درصد به ۲۶/۴۴ درصد در حضور ۱۰ میلی مولار اتانول کاهش می یابد. نرخ ثابت کیتیک نشان شده در نمودار ۴ ب این نتایج را تایید میکند.علاوه بر این، BQ به عنوان عامل محدودکنندگی O<sub>2</sub><sup>•-</sup> اثر ۳ درصد محدودکنندگی روی تجزیه RB نشان داد. از اینرو، نتایج تایید میکند که هر دو رادیکال SO<sub>4</sub><sup>•-</sup> OH و RB در تجزیه RB مشارکت می کنند، اما RB هتروژنی MWCNTs-CuNiFe<sub>2</sub>O<sub>4</sub> با ۱۰ میلی مولار KI به عنوان اسکونجر سطح کاتالیست مورد استفاده قرار گرفت. همانطور که انتظار می رفت در حضور KI نرخ تجزیه بطور قابل توجهی کاهش یافت، که پیشنهاد میدهد فعال سازی PMS در سطح MWCNTs-CuNiFe<sub>2</sub>O<sub>4</sub> اتفاق افتد. است.

### کاربرد فرآیند برای نمونه های واقعی

عملکرد سیستم MWCNTs-CuNiFe<sub>2</sub>O<sub>4</sub>/PMS روی آب مقطر، آب لوله کشی و فاضلاب نساجی مورد ارزیابی قرار گرفت. این میتوان از نمودار ۵ مشاهده کرد که برای تصفیه نمونه سنتیک زمان واکنش کمتری مورد نیاز می باشد. این درحالی برای آب لوله کشی شده با افزایش زمان واکنش بازدهی تجزیه افزایش می یابد. حداقل بازدهی حذف بالای ۹۰ درصد برای نمونه در زمان واکنش ۲۴۰ دقیقه بدست آمد. این میتواند به دلیل حضور آنیون های مختلف در آب های سطحی باشد، که اثر منفی روی بازدهی تجزیه از طریق مصرف OH<sup>•</sup> و SO<sub>4</sub><sup>•-</sup> داردند. در مقایسه با این نمونه ها، بازدهی تصفیه فاضلاب نساجی بوسیله MWCNTs-CuNiFe<sub>2</sub>O<sub>4</sub>/PMS برابر باشد.

3. Felista MM, Wanyonyi WC, Gilbert O. Adsorption of Anionic Dye (Reactive Black 5) Using Macadamia Seed Husks: Kinetics and Equilibrium Studies. *Sci African* 2020; e00283.
4. Hamzeh Y, Ashori A, Azadeh E, Abdulkhani A. Removal of Acid Orange 7 and Remazol Black 5 reactive dyes from aqueous solutions using a novel biosorbent. *Mater Sci Eng C* 2012;32(6): 1394-400.
5. Ballav N, Debnath S, Pillay K, Maity A. Efficient removal of Reactive Black from aqueous solution using polyaniline coated ligno-cellulose composite as a potential adsorbent. *J Mol Liq* 2015;209: 387-96.
6. Nabil GM, El-Mallah NM, Mahmoud ME. Enhanced decolorization of reactive black 5 dye by active carbon sorbent-immobilized-cationic surfactant (AC-CS). *J Ind Eng Chem* 2014;20(3): 994-1002.
7. Murugesan K, Dhamija A, Nam I-H, et al. Decolourization of reactive black 5 by laccase: optimization by response surface methodology. *Dyes Pigm* 2007;75(1): 176-84.
8. Mook WT, Ajeel MA, Aroua MK, Szlachta M. The application of iron mesh double layer as anode for the electrochemical treatment of Reactive Black 5 dye. *J Environ Sci* 2017;54: 184-95.
9. Kim MH, Hwang C-H, Kang SB, et al. Removal of hydrolyzed Reactive Black 5 from aqueous solution using a polyethylenimine-polyvinyl chloride composite fiber. *Chem Eng J* 2015;280: 18-25.
10. Cardoso NF, Pinto RB, Lima EC, et al. Removal of remazol black B textile dye from aqueous solution by adsorption. *Desalination* 2011;269(1-3): 92-103.
11. He Z, Song S, Zhou H, et al. CI Reactive Black 5 decolorization by combined sonolysis and ozonation. *Ultrason Sonochem* 2007; 1;14(3):298-304.
12. Aljeboree AM, Alshirifi AN, Alkaim AF. Kinetics and equilibrium study for the adsorption of textile dyes on coconut shell activated carbon. *Arab J Chem* 2017;10: S3381-S393.
13. Kermani M, Farzadkia M, Morovati M, et al. Degradation of furfural in aqueous solution using activated persulfate and peroxymonosulfate by ultrasound irradiation. *J Environ Manage* 2020;266: 110616.
14. Han W, Li D, Zhang M, et al. Photocatalytic activation of peroxymonosulfate by surface-tailored carbon quantum dots. *J Hazard Mater* 2020; 122695.
15. He D, Li Y, Lyu C, et al. New insights into MnOOH/peroxymonosulfate system for catalytic oxidation of 2, 4-dichlorophenol: Morphology dependence and mechanisms. *Chemosphere* 2020; 126961.
16. Peng J, Zhou H, Liu W, et al. Insights into heterogeneous catalytic activation of peroxymonosulfate by natural chalcopyrite: pH-dependent radical generation, degradation pathway and mechanism. *Chem Eng J* 2020; 397:125387.
17. Du Y, Ma W, Liu P, et al. Magnetic CoFe2O4 nanoparticles supported on titanate nanotubes (CoFe2O4/TNTs) as a novel heterogeneous catalyst for peroxymonosulfate activation and degradation of organic pollutants. *J Hazard Mater* 2016;308: 58-66.
18. La DD, Nguyen TA, Jones LA, Bhosale SV. Graphene-supported spinel CuFe2O4 composites: novel adsorbents for arsenic removal in aqueous media. *Sensors* 2017;17(6): 1292.
19. Othman I, Haija MA, Ismail I, et al. Preparation and catalytic performance of CuFe2O4 nanoparticles supported on reduced graphene oxide (CuFe2O4/rGO) for phenol degradation. *Mater Chem Phys* 2019;238: 121931.
20. Tuan Nguyen HD, Nguyen HT, Nguyen TT, et al. The Preparation and Characterization of MnFe2O4-Decorated Expanded Graphite for Removal of Heavy Oils from Water. *Materials* 2019;12(12): 1913.
21. Wu L-K, Wu H, Zhang H-B, et al. Graphene oxide/CuFe2O4 foam as an efficient absorbent for arsenic removal from water. *Chem Eng J* 2018; 334:1808-19.
22. Velinov N, Petrova T, Ivanova R, et al. Synthesis and characterization of copper-nickel ferrite catalysts for ethyl acetate oxidation. *Hyperfine Interact* 2020;241(1): 1-12.
23. Kharisov BI, Dias HR, Kharissova OV. Mini-review: ferrite nanoparticles in the catalysis. *Arab J Chem* 2019;12(7): 1234-46.
24. Ahamad H, Meshram N, Bankar S, et al. Structural properties of CuxNi1-xFe2O4 nano ferrites prepared by urea-gel microwave auto combustion method. *Ferroelectrics* 2017; 516(1):67-73.
25. Manju BG, Raji P. Green Synthesis of Nickel-Copper Mixed Ferrite Nanoparticles: Structural, Optical, Magnetic, Electrochemical and Antibacterial Studies. *J Electron Mater* 2019;48(12): 7710-20.
26. Ghadari R, Namazi H, Aghazadeh M. Synthesis of graphene oxide supported copper-cobalt ferrite material functionalized by arginine amino acid as a new high-performance catalyst. *Appl Organomet Chem* 2018;32(1): e3965.
27. Masotti A, Caporali A. Preparation of magnetic carbon nanotubes (Mag-CNTs) for biomedical and biotechnological applications. *Int J Mol Sci* 2013;14(12): 24619-42.
28. Camilli L, Passacantando M. Advances on sensors based on carbon nanotubes. *Chemosensors* 2018;6(4): 62.
29. Yao Y, Xu F, Chen M, et al. Adsorption behavior of methylene blue on carbon nanotubes. *Bioresour Technol* 2010;101(9): 3040-6.

30. Chaudhary D, Singh S, Vankar V, Khare N. ZnO nanoparticles decorated multi-walled carbon nanotubes for enhanced photocatalytic and photoelectrochemical water splitting. *J Photochem Photobiol A: Chem* 2018;351: 154-61.
31. Duan Q, Lee J, Liu Y, Qi H. Preparation and Photocatalytic Performance of MWCNTs/TiO<sub>2</sub> Nanocomposites for Degradation of Aqueous Substrate. *J Chem* 2016;2016.
32. Chen J, Zhang L, Huang T, et al. Decolorization of azo dye by peroxyomonosulfate activated by carbon nanotube: radical versus non-radical mechanism. *J Hazard Mater* 2016;320: 571-80.
33. Lee H, Lee H-J, Jeong J, et al. Activation of persulfates by carbon nanotubes: Oxidation of organic compounds by nonradical mechanism. *Chem Eng J* 2015;266: 28-33.
34. Suwattanamala A, Bandis N, Tedsree K, Issro C. Synthesis, characterization and adsorption properties of Fe<sub>3</sub>O<sub>4</sub>/MWCNT magnetic nanocomposites. *Mater Today: Proc* 2017;4(5): 6567-75.
35. Ensafi AA, Saied F, Rezaei B, Allafchian AR. NiFe<sub>2</sub>O<sub>4</sub> nanoparticles decorated with MWCNTs as a selective and sensitive electrochemical sensor for the determination of epinephrine using differential pulse voltammetry. *Anal Methods* 2014;6(17): 6885-92.
36. Rajabzadeh M, Khalifeh R, Eshghi H, Bakavoli M. A facile hydrothermal synthesis of novel hollow triple-shell CuNiFe<sub>2</sub>O<sub>4</sub> nanospheres with robust catalytic performance in the Suzuki-Miyaura coupling reaction. *J Catal* 2018;360: 261-9.
37. Wang Z, Du Y, Liu Y, et al. Degradation of organic pollutants by NiFe<sub>2</sub>O<sub>4</sub>/peroxyomonosulfate: efficiency, influential factors and catalytic mechanism. *Rsc Adv* 2016;6(13): 11040-8.
38. Dong X, Ren B, Sun Z, et al. Monodispersed CuFe<sub>2</sub>O<sub>4</sub> nanoparticles anchored on natural kaolinite as highly efficient peroxyomonosulfate catalyst for bisphenol A degradation. *Appl Catal B: Environ* 2019;253: 206-17.
39. Xu L, Chu W, Gan L. Environmental application of graphene-based CoFe<sub>2</sub>O<sub>4</sub> as an activator of peroxyomonosulfate for the degradation of a plasticizer. *Chem Eng J* 2015;263: 435-43.
40. Su S, Guo W, Leng Y, et al. Heterogeneous activation of Oxone by Co<sub>x</sub>Fe<sub>3-x</sub>O<sub>4</sub> nanocatalysts for degradation of rhodamine B. *J Hazard Mater* 2013;244: 736-42.
41. Tian R, Dong H, Chen J, et al. Amorphous Co<sub>3</sub>O<sub>4</sub> Nanoparticles-Decorated Biochar as an Efficient Activator of Peroxyomonosulfate for the Removal of Sulfamethazine in Aqueous Solution. *Sep Purif Technol* 2020; 117246.
42. Xu L, Chu W, Gan L. Environmental application of graphene-based CoFe<sub>2</sub>O<sub>4</sub> as an activator of peroxyomonosulfate for the degradation of a plasticizer. *Chem Eng J* 2015;263: 435-43.
43. Tan C, Lu X, Cui X, et al. Novel activation of peroxyomonosulfate by an easily recyclable VC@ Fe<sub>3</sub>O<sub>4</sub> nanoparticles for enhanced degradation of sulfadiazine. *Chem Eng J* 2019;363: 318-28.
44. Yao Y, Yang Z, Sun H, Wang S. Hydrothermal synthesis of Co<sub>3</sub>O<sub>4</sub>-graphene for heterogeneous activation of peroxyomonosulfate for decomposition of phenol. *Ind Eng Chem Res* 2012;51(46): 14958-65.
45. Gong C, Chen F, Yang Q, et al. Heterogeneous activation of peroxyomonosulfate by Fe-Co layered doubled hydroxide for efficient catalytic degradation of Rhoadmine B. *Chem Eng J* 2017;321: 222-32.
46. Deng J, Chen Y-J, Lu Y-A, et al. Synthesis of magnetic CoFe<sub>2</sub>O<sub>4</sub>/ordered mesoporous carbon nanocomposites and application in Fenton-like oxidation of rhodamine B. *Environ Sci Pollut Res* 2017;24(16): 14396-408.
47. Deng J, Shao Y, Gao N, et al. CoFe<sub>2</sub>O<sub>4</sub> magnetic nanoparticles as a highly active heterogeneous catalyst of oxone for the degradation of diclofenac in water. *J Hazard Mater* 2013;262: 836-44.
48. Ghanbari F, Moradi M. Application of peroxyomonosulfate and its activation methods for degradation of environmental organic pollutants: Review. *Chem Eng J* 2017;310: 41-62.
49. Al Hakim S, Jaber S, Eddine NZ, et al. Degradation of theophylline in a UV254/PS system: Matrix effect and application to a factory effluent. *Chem Eng J* 2020; 380:122478.

# **Evaluation of efficiency of copper-nickel ferrite nanoparticles loaded onto multi-walled carbon nanotubes in activation of peroxyomonosulfate for degradation of reactive black dye 5 from aqueous solutions**

Mehdi Alhamd<sup>1</sup>, Tayebeh Tabatabaie<sup>1\*</sup>, Iman Parseh<sup>2,3\*</sup>, Fazel Amiri<sup>1</sup>, Nezamaddin Mengelizadeh<sup>3</sup>

<sup>1</sup>Department of Environment, College of Environmental Engineering, Branch Bushehr, Islamic Azad University, Bushehr, Iran

<sup>2</sup>Department of Environmental Health Engineering, Behbahan Faculty of Medical Sciences, Behbahan, Iran

<sup>3</sup>Adjunct Professor, Department of Environment, College of Environmental Engineering, Branch Bushehr, Islamic Azad University, Bushehr, Iran

\*E-mail: tabatabaie@iaubushehr.ac.ir & iparseh97@gmail.com

*Received: 4 January 2022; Accepted: 15 April 2022*

## ABSTRACT

**Background and Aim:** The development of industry has recently led to the release of  $2 \times 10^5$  tons of colored wastewater into the environment. The presence of these solutions due to their toxicity and carcinogenic potential can be a threat to human health. The aim of this study was to investigate the efficiency of MWCNTs-CuNiFe<sub>2</sub>O<sub>4</sub> nanocomposite in activating peroxyomonosulfate (PMS) for degradation of reactive black 5 dye (RB5).

**Methods:** In this study, nanocomposites were characterized by diagnostic techniques of SEM, TEM, FTIR, and XRD. Influence of operating parameters such as pH (2-11), nanocomposite concentration (10-750 mg/L), PMS concentration (0.25-8 mM), dye concentration (10-250 mg/L), and reaction time (0-60 min) was evaluated. Stability and scavenging tests of reactive species under optimal conditions were studied.

**Results:** The results showed that the MWCNTs-CuNiFe<sub>2</sub>O<sub>4</sub>/PMS system has a high performance in RB5 degradation compared to systems such as PMS, MWCNTs-CuNiFe<sub>2</sub>O<sub>4</sub> and CuFe<sub>2</sub>O<sub>4</sub>/PMS. RB5 degradation complete was obtained at pH of 7, the composite concentration of 250 mg/L, the PMS concentration of 4 mM, and the reaction time of 15 minutes. Suitable treatment of real solutions due to the presence of interfering materials requires a reaction time above 240 min. Stability tests for 5 reaction cycles showed that MWCNTs-CuNiFe<sub>2</sub>O<sub>4</sub> could be a recyclable catalyst in PMS activation.

**Conclusion:** The synthesized composite can be used as a catalyst to activate PMS in RB5 dye removal due to its recyclability and high efficiency.

**Keywords:** Nanocomposite, MWCNTs-CuNiFe<sub>2</sub>O<sub>4</sub>, Peroxymonosulfate, Recycling, Catalysis.